

洪水時の掃流砂による河床変動

京都大学防災研究所 正員 大野勝正

京都大学防災研究所 正員 高橋保

鹿島建設株式会社 正員 ○松本 喬

1. はじめに これまで河床変動に関する研究は数多く行はれてきたが、ここでは集中豪雨等によつて生じた崩壊土砂が河道部へ流失しきる場合、一洪水によつて、河床がどのように変化するかを調べるために、(a)給砂を行はずの場合、(b)河床上で最高高さ5CM、長さ10Mにわたる小山(Mound)を作つた場合、の2つについての河床変動の実験を行ひ、定常流と洪水流を流れ、その結果を比較しながら考察を行はつてゐる。

2. 実験概要 (1) 実験装置および方法 実験水路は幅60CM、高さ60CM、長さ150Mの鋼製水路で、水路底より厚さ8CMにわたり平均粒径0.72mmのほぼ均一な砂を敷きつめた。初期河床勾配は1/500である。実験終了後の河床高さはボルトゲージを用いて測定した。(2) 実験ケース 定常流と洪水流についてそれぞれ実験を行はつた。(a) 流量25l/secの定常流を、30分間通し、(b) 同時に給砂を単位幅時間当り $470 \times 10^{-5} \text{ m}^3/\text{sec}$ のものを行はつて、30分後の河床高さを測る。K、(c) Moundを作つてから30分間の河床高さを測定した。以上2つの実験を行つた。(d) 洪水流(基底流量10l/s、最大流量40l/s、継続時間30分で、継続時間中流れ全流量と定常流30分間に流れ全流量とは等しい。)に対するそれ(a)定常流と同一の給砂を行はつたもの、(e) 同じMoundを作つて2つの実験を行はつた。

3. 河床変動の基礎方程式 土石流のように給砂が非常に急激で、しかも大量に行はわれる場合や、波浪のような場合を除けば、現象は比較的ゆるくあり、擬似定常的解析が可能と考えられ、流水の運動方程式と1つ、 $i = u_*^2 / gh$ (1)

を用いることができる。ここでは水面勾配で、 $i = i_0 - \partial^2 h / \partial x^2 - \partial h / \partial x$ (2)

i_0 は初期河床勾配、 i は基準面からの河床高さ、 h は水深、 u_* は摩擦速度である。また流れの連続式、 $\partial h / \partial t - 1/(1-\lambda) \cdot \partial^2 h / \partial x^2 = 0$ (3)

および流砂量式と1つ佐藤吉川・芦田公式 $q_B = \eta F(\%)(U_*^3 / f g (\eta - 1))$ (4)

を用い、さらに抵抗法則と1つ Manning式を用い、(1), (2), (3), (4)式から

$$\frac{\partial h}{\partial t} - \frac{21}{20} \eta F \frac{1}{1-\lambda} \cdot h U_*^2 / (\eta - 1) \cdot (\partial^2 h / \partial x^2 + \partial^2 h / \partial x^2 - 6/7 U_*^2 / h \cdot \partial^2 h / \partial x^2) = 0 \quad (5)$$

式得られる。ここでは単位幅流量である。いま水深の曲率を無視できるものと仮定すれば、定常流では $\partial^2 h / \partial x^2 = 0$ から

$$\frac{\partial h}{\partial t} - k \partial^2 h / \partial x^2 = 0 \quad (6)$$

$$\text{ただし}, K = 2/10 \eta F \frac{1}{1-\lambda} h U_*^2 / (\eta - 1) = 2/10 \eta F \frac{1}{1-\lambda} g / ((\eta - 1) a) \quad (7)$$

ここで $a = U_*^2 / gh$ で、定常流では a は一定と考えることができる。(6)式は拡散方程式で、河床変動の基礎式と1つ、従来からしばしば使われてゐる。¹⁾この式は護岸過程からも明らかにようべく、曲率の大きい小規模の河床変動を説明できはしないが、平均河床勾配の変化等大規模緯度変化に対する境界条件の影響を検討するには有用であるといふ特長を持つ。この式は、洪水流に対する場合は、 $\partial^2 h / \partial x^2 \neq 0$ であるからManningの式を用ひて、

$$\frac{\partial h}{\partial t} / g = 5/3 \frac{\partial h}{\partial x} / h - \frac{1}{2} (\partial^2 h / \partial x^2 - \partial^2 h / \partial x^2) / (U_*^2 / gh) \quad (8)$$

を(5)式に入れ、水深の曲率および $iU^2 \partial^2 X$ の項を微小であるとして無視すれば、次式を得る。

$$\frac{\partial^2 h}{\partial t^2} - \frac{3}{2} \eta F T \frac{1}{1-X} \frac{\partial h}{\partial t} + f(\eta) - 11a \frac{\partial^2 h}{\partial X^2} = \frac{\partial^2 h}{\partial t^2} - K \frac{\partial^2 h}{\partial X^2} = 0 \quad (9)$$

(9)式中の K は、流量 Q が場所と時間の函数であるが、近似的には、Kleitz-Seddon の式で示される伝播速度を持った特性曲線上では、一定値をとる。したがって、河床変動のスケールが水深に比して十分に大きければ、その長さを洪水の伝播速度で割れば、時間が、洪水継続時間に比べて十分に小さくなるようは程度の場合に対しては、 K は時間的にのみ変動するものとしてもよいであろう。このような場合には、形式的に解を求めることが可能である。

4. 実験結果と考察 図1は給砂を行はず、大場合の実験結果および(6)式、(9)式を給砂地帯の河床勾配式、変化した流砂量による平衡勾配に算出したものとの数値計算を行なった結果を示している。これによると実験結果では、定常流に対する河床高さと、洪水流に対するそれはほとんど変わらないが、計算結果では、洪水時の河床高さの方が若干高くなっている。これは洪水期間中に粗度係数は複雑に変化していくにちがいぬから、一定と仮定して定常流25%の流量に対する百倍を用いたため大きな原因ではないかと考えられる。図2はMoundを作った場合の実験結果および(6)式、(9)式を条件 $z(0, t) = 0$ 、
 $z(x, 0) = f(x)$ のもとで数値計算した結果を示している。この数値計算を行なうにあたっては、勾配 $1/500$ の一様水路での定常流25%の水理条件から得られた粗度係数 $K = 0.18$ では実験結果とは一致せず、Mound上の水理条件から得られた粗度係数を使つてそれを求めた $K = 0.08$ を用いたもので、やはり実験結果とよく一致している。Moundの下流部では計算結果と実験結果とは少し離れていく。これは粗度係数の場所的変化や、境界条件のとりかたに起因していると考えられる。

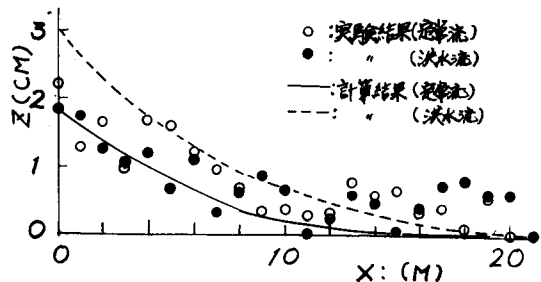


図1 給砂を行ひず、大場合

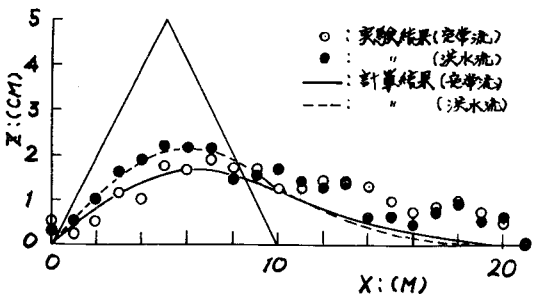


図2 Moundを作った場合

実河川に適用するには混合粒径の問題や抵抗法則の問題の解決が待たれる。終りに感謝の言葉を述べて、東京大学防災研究所の道工助手はじめに実験に助力いたしました同研究所の方々に謝意を表す次第である。

参考文献

- (1) 例えば：石崎勝義：河川の堆積構造に関する考察、第12回水理講演会講演集、543.2.
- (2) 芦田和男：河床変動に対する境界条件の影響、土木学会第25回年次講演。